

อิทธิพลของการแพร่รังสีจากพื้นผิวภายนอกอาคารที่มีผลต่อสภาวะน่าสนใจของผู้อยู่อาศัย

นางสาวน้ำเพชร กงประเวชนนท์

ศูนย์วิทยทรัพยากร

จุฬาลงกรณ์มหาวิทยาลัย

วิทยานิพนธ์นี้เป็นส่วนหนึ่งของการศึกษาตามหลักสูตรปริญญาสถาปัตยกรรมศาสตรมหาบัณฑิต

สาขาวิชาสถาปัตยกรรม ภาควิชาสถาปัตยกรรมศาสตร์

คณะสถาปัตยกรรมศาสตร์ จุฬาลงกรณ์มหาวิทยาลัย

ปีการศึกษา 2545

ISBN 974-17-3121-3

ลิขสิทธิ์ของจุฬาลงกรณ์มหาวิทยาลัย

**THE INFLUENCE OF RADIANT TEMPERATURE FROM ROOM SURFACE
EFFECTING HUMAN COMFORT CONDITION**

Miss Namphet Kongpravetnon

ศูนย์วิทยบรังษยการ
จุฬาลงกรณ์มหาวิทยาลัย

A Thesis Submitted in Partial Fulfillment of the Requirements
for the Degree of Master of Architecture in Architecture

Department of Architecture

Faculty of Architecture

Chulalongkorn University

Academic Year 2002

ISBN 974-17-3121-3

หัวข้อวิทยานิพนธ์ อิทธิพลของการแพร่รังสีจากพื้นผิวภายในอาคารที่มีผลต่อสภาวะน่าอยู่ของผู้อยู่อาศัย

โดย นางสาว น้ำเพชร กงประเวชันท์

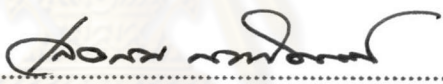
สาขาวิชา สถาปัตยกรรม

อาจารย์ที่ปรึกษา อาจารย์ ดร. วรสันต์ บูรณากัญจน์

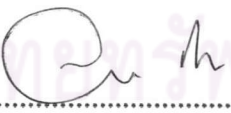
คณะกรรมการคัดเลือกสิ่งที่อนุมัติให้นับวิทยานิพนธ์ฉบับนี้เป็นส่วนหนึ่งของการศึกษาตามหลักสูตรปริญญามหาบัณฑิต


.....
คณบดีคณะสถาปัตยกรรมศาสตร์
(รองศาสตราจารย์ ดร.วีระ สังกุล)

คณะกรรมการสอบบัณฑิตวิทยานิพนธ์


.....
ประธานกรรมการ
(รองศาสตราจารย์ เลอสม สถาปิตานนท์)


.....
อาจารย์ที่ปรึกษา
(อาจารย์ ดร. วรสันต์ บูรณากัญจน์)


.....
กรรมการ
(ศาสตราจารย์ ดร.สุนทร บูรณากัญจน์)

.....
กรรมการ
(อาจารย์ พรพรรณชลักษณ์ สุริโยธิน)

นางสาวน้ำเพชร กงประเวชานนท์ : อิทธิพลของการแผ่รังสีจากพื้นผิวภายในอาคารที่มีผลต่อสภาพน่าสบายของผู้อยู่อาศัย. (THE INFLUENCE OF RADIANT TEMPERATURE FROM ROOM SURFACE EFFECTING HUMAN COMFORT CONDITION) อาจารย์ที่ปรึกษา: ผศ.ดร. วรสันต์ บูรณากาญจน์, 200 หน้า. ISBN 974-17-3121-3.

จากสภาพที่ตั้งของประเทศไทยส่งผลให้อุณหภูมิอากาศมีลักษณะร้อนชื้นและมีอุณหภูมิอยู่นอกเขตสายเกือบทตลอดทั้งปี การปรับปรุงสภาพแวดล้อมอย่างถูกต้องจะช่วยปรับสภาพภูมิอากาศให้เข้าสู่สภาพน่าสบายมากขึ้น ปัจจัยสำคัญที่มีผลต่อสภาพน่าสบายของผู้อยู่อาศัย คือ การลดอุณหภูมิเฉลี่ยของผิวอาคารโดยรอบ ซึ่งเป็นวัตถุประสงค์หลักของงานวิจัยนี้

ขั้นตอนการวิจัย แบ่งออกเป็น 2 ขั้นตอน 1) การศึกษาและการเก็บข้อมูลจากอาคารทดลองในระบบปรับอากาศ เพื่อจำลองสภาพปัจจัยแวดล้อมจริง 2) นำข้อมูลที่ได้จากการทดลองมาวิเคราะห์และประมวลผล ประกอบด้วย 1) วิเคราะห์ความสัมพันธ์ของตัวแปรที่มีผลต่อสภาพน่าสบายของผู้อยู่อาศัย 2) ศึกษาตัวแปรที่มีอิทธิพลต่ออุณหภูมิเฉลี่ยพื้นผิวโดยรอบของอาคาร ประกอบด้วย อิทธิพลการแผ่รังสีจากพื้นผิวภายในอาคาร อุณหภูมิผิวภายในของอาคาร 3) ศึกษาอิทธิพลของอุณหภูมิเฉลี่ยพื้นผิวโดยรอบซึ่งมีผลต่อสภาพน่าสบายของผู้อยู่อาศัย จากการวิเคราะห์ทำให้ทราบว่า พื้น ผนัง เพดาน มีอิทธิพลต่อสภาพน่าสบายกรณีที่อุณหภูมิพื้นผิวภายในอาคาร เมื่อเทียบกับอุณหภูมิอากาศ เมื่อการปรับปรุงอาคารก่ออิฐ混ปูนโดยการติดตั้งโพลีสไตรีนหนา 3 มม. ได้เพิ่มห้อง ติดตั้งโพลีสไตรีนหนา 1 มม. ภายในอกผนังอาคารทั้ง 4 ด้าน และปรับปรุงหลังคาโดยเพิ่มสวนหลังคาไม้ฟุ่ม และนำไปเปรียบเทียบกับอาคารก่ออิฐ混ปูน พบว่า การปรับปรุงพื้นช่วงเพิ่มสภาพน่าสบายจากเดิม 44.16% การปรับปรุงผนังทั้ง 4 ด้านช่วยเพิ่มสภาพน่าสบายจากเดิม 20.77% การปรับปรุงเพดานช่วยเพิ่มสภาพน่าสบาย 9.08% การปรับปรุงพื้นร่วมกับผนังทั้ง 4 ด้านจะเพิ่มสภาพน่าสบาย 76.63% การปรับปรุงผนังทั้ง 4 ด้านร่วมกับเพดาน จะเพิ่มสภาพน่าสบาย 75.30% การปรับปรุงพื้นร่วมกับเพดาน จะเพิ่มสภาพน่าสบาย 53.24% และการปรับปรุงพื้น ผนังทั้ง 4 ด้านและเพดาน จะเพิ่มสภาพน่าสบาย 145% เมื่อเปรียบเทียบกับอาคารก่ออิฐ混ปูน

ผลการวิจัยสรุปได้ว่า อุณหภูมิเฉลี่ยพื้นผิวโดยรอบมีผลต่อความรู้สึกของผู้อยู่อาศัยมากกว่าอุณหภูมิอากาศ 40% โดยอิทธิพลการแผ่รังสีจากพื้นจะมีผลต่อสภาพน่าสบายของผู้อยู่อาศัยมากที่สุด รองลงมาคือเพดาน และผนังตามลำดับ สำหรับห้องมีขนาดเล็กอิทธิพลการแผ่รังสีจากผนังจะมีผลต่อสภาพน่าสบายของผู้อยู่อาศัยมากกว่าห้องที่มีขนาดใหญ่ ซึ่งแนวทางการปรับปรุงอาคารเพื่อเพิ่มสภาพน่าสบายของผู้อยู่อาศัย ทำได้โดยการเลือกใช้วัสดุที่มีคุณสมบัติการหน่วงเหนี่ยความร้อน เพื่อลดอุณหภูมิพื้นผิวภายในอาคาร เช่น การติดตั้งตัวนวนภายในอาคารเดิม จะช่วยเพิ่มสภาพน่าสบายของผู้อยู่อาศัย

ภาควิชา สถาปัตยกรรมศาสตร์

ลายมือชื่อนิสิต 2519/2560

สาขาวิชา สถาปัตยกรรม

ลายมือชื่ออาจารย์ที่ปรึกษา

ปีการศึกษา 2545

4474162725 : MAJOR ARCHITECTURE

KEY WORDS : MEAN RADIANT TEMPERATURE / ANGLE FACTOR / HUMAN SENSATION/

THERMAL COMFORT/ THERMAL COMFORT INDEX

NAMPHET KONGPRAVETNON : THE INFLUENCE OF RADIANT TEMPERATURE FROM ROOM

SURFACE EFFECTING HUMAN COMFORT CONDITION. THESIS ADVISOR : VORASUN

BURANAKARN, Ph.D., 200 pp. ISBN 974-17-3121-3.

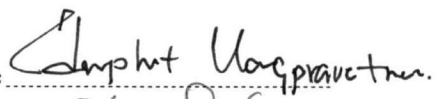
The location of Thailand affects the climate. Being close to the equator makes it excessively. People live outside of the comfort zone nearly through the entire year. Adapting human sensation to be more comfortable requires the right environmental improvements. The principle objective of this research is to analyze the factors that effect human thermal comfort by reducing the mean radiant temperature (MRT).

Research methods are divided into 2 steps with interpretation ; A) Study and collect temperature data from the experimental air-conditioned room which simulates the conditions of real buildings. B) Analyze and evaluate the collected data. Interpretation: 1) Analyze the relationships of the various factors which effect human thermal comfort. 2) Study the factors which effect the MRT around the building. MRT consists of concepts: angle factors and inside surface temperature. 3) Study the influence of the MRT on the thermal comfort of residents.

After analysis it was apparent that floors, walls and heat transfers through the ceiling. When inside temperature are not equal to body temperature an unpleasant condition exists. When the body is cooler than the air, then heat travels inside the human body. The comparison of the common brick buildings with its improvement by the addition of polystyrene insulation foam (3-inch at the bottom-side of the floor) or the use of polystyrene insulation foam 1-inch thick at all 4 outside walls with the addition of a roof garden can increase thermal comfort by 44.16%. The 4 wall insulation technique alone can increase thermal comfort 20.77% and the use of the roof garden can increase thermal comfort another 9.08%. The development of all sides of walls increases thermal comfort index 76.63%, The development of walls with ceiling increases thermal comfort index 75.30%. The development of wall with ceiling increases thermal comfort index 53.24%. The development of floor, walls and ceiling increases thermal comfort 145.46% when compared with the common brick building.

The results conclude that the mean radiant temperature effects human comfort more than air temperature 40%. The influence of radiant temperature from the floor is the most active in human thermal comfort. Following that is the ceiling and the least are the walls. For the small-size-room influence of angle factor can effectively increase the thermal comfort of residents better than a bigger one. Therefore the way for buildings to improve thermal comfort is the selection of finishing materials which have properties of thermal time lag reducing inside surface temperatures in buildings such as using installation of outside insulation for old buildings.

Department Architecture

Student's signature 

Field of study Architecture

Advisor's signature 

Academic year 2002

กิตติกรรมประกาศ

วิทยานิพนธ์ฉบับนี้สำเร็จลุล่วงได้ด้วยดี เนื่องด้วยความกรุณา ความอนุเคราะห์ ความช่วยเหลือ และ
น้ำใจจากหลายหน่วยงาน และ บุคคล ดังนี้

ขอขอบคุณกองทุนเพื่อส่งเสริมการอนุรักษ์พลังงาน (สพช.) ผู้สนับสนุนทุนในการทำวิทยานิพนธ์
ขอขอบคุณ ผู้ช่วยศาสตราจารย์ ดร. วรสันต์ บูรพาภิญจน์ อารย์ที่ปรึกษาวิทยานิพนธ์ ที่กรุณาให้
คำแนะนำ คำปรึกษา ตลอดจนข้อมูลเทคนิคต่างๆ อันเป็นประโยชน์อย่างยิ่งในงานวิจัย

ขอขอบคุณ ศาสตราจารย์ ดร. สุนทร บุญญาธิการ ซึ่งเป็นผู้ประสานวิชา ให้ข้อมูล คำแนะนำที่เป็น
ประโยชน์ตลอดหลักสูตรการศึกษา โดยเฉพาะในช่วงเวลาทำวิทยานิพนธ์

ขอขอบคุณ คณาจารย์ประจำคณะสถาปัตยกรรมศาสตร์ทุกๆ ท่าน ผู้ช่วยศาสตราจารย์ในด้านต่างๆ
ระหว่างการศึกษา

ท้ายที่สุดขอขอบขอบพระคุณ คุณพ่อคุณแม่ และครอบครัว ที่เคยห่วงใยและให้ความสนับสนุน
มาตลอดตั้งแต่เข้าศึกษาจนทำวิทยานิพนธ์สำเร็จลุล่วงไปได้ด้วยดี

ขอบคุณเพื่อนๆร่วมรุ่นทุกคน ผู้: พี่เศรษฐ พี่โอ พี่จัม พี่ชุด มอส พี่หลิน พี่เอ ราย พี่สร้อย ที่เคย
ช่วยเหลือ และให้กำลังใจในการทำวิทยานิพนธ์

จึงขอขอบพระคุณท่านที่เกี่ยวข้องมา ณ โอกาสนี้ด้วย

ศูนย์วิทยบรพยากร
จุฬาลงกรณ์มหาวิทยาลัย

สารบัญ

	หน้า
บทคัดย่อภาษาไทย.....	ก
บทคัดย่อภาษาอังกฤษ.....	ข
กิตติกรรมประกาศ.....	ค
สารบัญ	ง
สารบัญภาพ	ช
สารบัญตาราง	ชช
สารบัญแผนภูมิ	ญ

บทที่ 1 บทนำ

1.1 ความเป็นมา และความสำคัญของปัญหาการศึกษา.....	1
1.2 วัตถุประสงค์	2
1.3 ขอบเขตการวิจัย	3
1.4 ระเบียบวิธีวิจัย.....	3
1.5 ประโยชน์ที่คาดว่าจะได้รับ.....	6

บทที่ 2 ทฤษฎี และงานวิจัยที่เกี่ยวข้อง

2.1 การถ่ายเทความร้อนของวัสดุ.....	8
2.1.1 การนำความร้อน	8
2.1.2 การพาความร้อน	8
2.1.3 การแผ่รังสีความร้อน.....	8
2.2 คุณสมบัติของวัสดุที่เกี่ยวข้องกับกระบวนการแผ่รังสีความร้อน.....	10
2.2.1 ตัวแปรที่เกี่ยวข้องกับคุณสมบัติพื้นผิววัสดุ	10
ค่าสัมประสิทธิ์การคูดกลืนรังสีคงอาทิตย์.....	10
ค่าสัมประสิทธิ์การกระจายรังสีความร้อน	11
อัตราส่วนระหว่างค่าสัมประสิทธิ์การคูดกลืนรังสีคงอาทิตย์กับค่าสัมประสิทธิ์การกระจายรังสีความร้อน	12
การคำนวณปริมาณการแผ่รังสีของพื้นผิววัสดุ	17
อุณหภูมิผิววัสดุเมื่อได้รับรังสีคงอาทิตย์.....	17

สารบัญ (ต่อ)

	หน้า
2.2.2 ตัวแปรที่เกี่ยวข้องกับคุณสมบัติเนื้อวัสดุ	19
ค่าสัมประสิทธิ์การถ่ายเทความร้อน	19
ค่าความซุ่มความร้อนของวัสดุ	20
2.3 สภาพน้ำสบายน.....	21
2.3.1 อัตราการเผาผลาญพลังงานร่างกาย (Metabolism rate)	21
2.3.2 เสื้อผ้าที่สวมใส่ (Cloth-Value)	23
2.3.3 ความดันไอน้ำในอากาศ (Vapor Pressure)	24
2.3.4 ความเร็วลม (Wind Velocity)	25
2.3.5 อุณหภูมิเฉลี่ยของการแผ่รังสีเพื่อพิวโดยรอบ (MRT).....	26
2.4 งานวิจัยที่เกี่ยวข้อง	
2.4.1 การคำนวณอุณหภูมิเฉลี่ยของพื้นผิวโดยรอบจาก Plane Radiant Temperature โดย Krosgaard.....	27
2.4.2 ดัชนีสภาพน้ำสบายน Predicted Mean Vote (PMV) และ Predicted Percentage Dissatisfy (PPD)" โดย P.O.Fanger	28
2.4.3 วิทยานิพนธ์ “ผลกระทบของสีผนัง และมวลสารภายในต่อการถ่ายเท ความร้อนเข้าสู่อาคาร” โดย นายพรสวัสดิ์ พิริยะศรัทธา	30
บทที่ 3 ประเมินวิธีวิจัย	
3.1 การเตรียมวัสดุทดสอบ	32
3.2 การเตรียมเครื่องมือเพื่อใช้ในการวิจัย และทดสอบสมมติฐานเครื่องมือ	40
3.2.1 เครื่องมือวัดอุณหภูมิ	40
การตั้งมาตรฐานหัว Sensor	40
3.2.2 กล่องทดลอง.....	42
การทดลองความสามารถของกล่องทดลอง.....	43
3.2.3 อาคารปรับอากาศเพื่อการทดลองวัสดุ	44
3.3 การทดลองวัสดุทดสอบ.....	45
รูปแบบวัสดุสำหรับการทดลองชุดที่ 1: พื้นคล.หนา 0.10 เมตร.....	45
รูปแบบวัสดุสำหรับการทดลองชุดที่ 2: ผนังก่ออิฐ混泥土หนา 0.10 เมตร.....	45
รูปแบบวัสดุสำหรับการทดลองชุดที่ 3: หลังคาคอนกรีต และสวนหลังคา.....	46

สารบัญ (ต่อ)

	หน้า
การติดตั้ง Sensor ในหน่วยทดสอบของการทดลอง.....	46
การเก็บข้อมูลอุณหภูมิ	47
3.4 การวิเคราะห์ผลการทดลอง	47
3.5 การสรุปผลการทดลอง	48
บทที่ 4 การวิเคราะห์ผลการทดสอบในการวิจัย	
4.1 การวิเคราะห์ผลการทดลองชุดที่ 1	50
4.2 การวิเคราะห์ผลการทดลองชุดที่ 2	96
บทที่ 5 สรุปผลการทดลอง และข้อเสนอแนะ	
5.1 สรุปผลการทดลอง.....	193
5.2 ข้อเสนอแนะ.....	200
รายการอ้างอิง	201
ประวัติผู้เขียนวิทยานิพนธ์.....	202

**ศูนย์วิทยทรัพยากร
จุฬาลงกรณ์มหาวิทยาลัย**

สารบัญภาพ

ภาคที่		หน้า
2-1	แสดงการเปรียบเทียบช่วงความยาวคลื่นที่แตกต่างกันระหว่างรังสีคลื่นสั้น และรังสีคลื่นยาว.....	9
2-2	แสดงความสัมพันธ์ค่าสัมประสิทธิ์การคูณคลื่นรังสี และค่าสัมประสิทธิ์การกระจาย ความร้อนของวัสดุ.....	13
2-3	แสดงอิทธิพลความคันไอน้ำในอากาศ ซึ่งมีผลต่อความรู้สึกของบุคคล.....	24
2-4	แสดงการคำนวนหาค่า Area Factor	28
2-5	แสดงความสัมพันธ์ระหว่าง PMV และPPD.....	30
3-1	แสดงความสัมพันธ์ระหว่างค่าความจุความร้อนต่อหน่วยปริมาตร และ ค่าสัมประสิทธิ์การนำความร้อนของวัสดุ.....	35
3-2	แสดงการเตรียมผนังก่ออิฐ混ปูน เพื่อกระทำการทดสอบ.....	36
3-3	แสดงการเตรียมผนังมวลเบาเพื่อกระทำการทดสอบ.....	36
3-4	แสดงเครื่องวัดอุณหภูมิ System 200	41
3-5	แสดงเครื่องคอมพิวเตอร์บันทึกข้อมูล	41
3-6	แสดงการต่อหัวเทอร์มิสเตอร์ เข้ากับสายโทรศัพท์ความยาว.3.00เมตร เท่ากันทุกสิ้นเพื่อใช้ ในการบันทึกข้อมูล.....	41
3-7	แสดงขนาดกล่องทดสอบ.....	42
3-8	แสดงกล่องทดสอบที่กระทำการก่อสร้างเสร็จเรียบร้อย.....	42
3-9	แสดงกล่องทดสอบที่กระทำการติดตั้งบนผนังทดสอบ.....	42
3-10	แสดงอาคารปรับอากาศ โดยผนังทั้ง 4 ด้านของอาคารจะเชื่อมต่อว่างสำหรับติดตั้งกล่องทดสอบ.....	44
3-11	แสดงการเตรียมพื้นทดสอบ	45
3-12	แสดงแบบแปลนการติดตั้งวัสดุทดสอบแต่ละหน่วยทดสอบสำหรับการทดสอบที่ 1.1.....	46
3-13	แสดงการติดตั้งจำนวนบนผนังก่ออิฐ混ปูน	46
3-14	แสดงการติดตั้ง Sensor บนผนังทดสอบ	46
3-15	แสดงการเตรียมหลังคาคอนกรีต.....	47
3-17	แสดงการเตรียมสวนหลังคา.....	47

สารบัญตาราง

ตารางที่	หน้า
2-1 แสดงตัวอย่างคุณสมบัติพื้นผิวสศุบางชนิด	12
2-2 แสดงคุณสมบัติค่าการคูดซับรังสีดวงอาทิตย์ของวัสดุ	14
2-3 แสดงคุณสมบัติค่าการกระจายความร้อนของพื้นผิวสศุ.....	15
2-4 แสดงคุณสมบัติค่าการกระจายความร้อนของพื้นผิวสศุ.....	16
2-5 แสดงอัตราการเผาผลาญพลังงาน	22
2-6 แสดงค่าความต้านทานความร้อนของเครื่องเต่งกาย.....	23
2-7 แสดงความสัมพันธ์ระหว่าง Indoor Air Velocity และ Comfort	26
3-1 แสดงคุณสมบัติทางด้านความร้อนของวัสดุตัวอย่างที่ใช้ในการก่อสร้าง.....	35
4-1 แสดงการเปรียบเทียบค่า Angle Factor ที่เลือกปรับปรุงเปรียบเทียบกับอุณหภูมิเฉลี่ย พื้นผิวโดยรอบของอาคาร.....	176
4-2 แสดงการเปรียบเทียบค่า Angle Factor ที่เลือกปรับปรุงเปรียบเทียบกับอุณหภูมิเฉลี่ย พื้นผิวโดยรอบของอาคาร.....	186

**ศูนย์วิทยทรัพยากร
จุฬาลงกรณ์มหาวิทยาลัย**

สารบัญแผนภูมิ

แผนภูมิที่	หน้า
4-1 แสดงการเปรียบเทียบอุณหภูมิพื้นผิวภายในทั้ง 6 ด้านของอาคาร ร่วมกับอุณหภูมิเฉลี่ยของพื้นผิวโดยรอบของผนังก่ออิฐ混泥土 และอุณหภูมิอากาศภายในอาคาร.....	54
4-2 แสดงการเปรียบเทียบค่าดัชนี PREDICTED MEAN VOTE (PMV) ของอาคารที่ประกอบด้วยผนังก่ออิฐ混泥土ทั่วไปที่ผู้อยู่อาศัยประกอบ กิจกรรมที่ระดับ 100 120 และ 150 Kcal/h.sq.m. ตามลำดับกรณีปรับอากาศ.....	55
4-3 แสดงการเปรียบเทียบค่าดัชนี PREDICTED PERCENTAGE of DISSATISFIED (PPD) ของอาคาร ที่อาศัยประกอบกิจกรรมที่ระดับ 100 120 และ 150 Kcal/h.sq.m ตามลำดับ กรณีปรับอากาศ.....	56
4-4 แสดงการเปรียบเทียบค่าดัชนี PPD สูงสุดของวัน ค่าดัชนี PPD ต่ำสุดของวัน และค่าดัชนี PPD เฉลี่ยตลอดทั้งวันของห้อง เมื่อผู้อยู่อาศัยประกอบกิจกรรมที่ระดับแตกต่างกัน.....	60
4-5 แสดงการเปรียบเทียบค่าดัชนี PREDICTED MEAN VOTE (PMV) ของอาคารที่ผู้ อยู่อาศัยใส่เสื้อผ้าที่ระดับ Clo-Value เท่ากับ 0.1, 0.3, 0.5 และ 1.0 ตามลำดับ กรณีปรับอากาศ.....	62
4-6 แสดงการเปรียบเทียบค่าดัชนี PREDICTED PERCENTAGE of DISSATISFIED (PPD) ของอาคารที่ผู้อยู่อาศัยใส่เสื้อผ้าที่ระดับ Clo-Value เท่ากับ 0.1, 0.3, 0.5 และ 1.0 ตามลำดับ กรณีปรับอากาศ.....	63
4-7 แสดงการเปรียบเทียบค่าดัชนี PPD สูงสุดของวัน ค่าดัชนี PPD ต่ำสุดของวัน และค่าดัชนี PPD เฉลี่ยตลอดทั้งวันของห้อง เมื่อผู้อยู่อาศัยที่ซึ่งใส่เสื้อผ้าที่ระดับ Clo-value 0.1 0.3 0.5 1.0 แตกต่างกัน.....	67
4-8 แสดงการเปรียบเทียบค่าดัชนี PREDICTED MEAN VOTE (PMV) ของอาคารที่ประกอบด้วยผนังก่ออิฐ混泥土ทั่วไป ที่เพิ่มความเร็วลม 50, 100, 200, 300 fpm กรณีปรับอากาศ	69
4-9 แสดงการเปรียบเทียบค่าดัชนี PREDICTED PERCENTAGE of DISSATISFIED (PPD) ของอาคารที่ประกอบด้วยผนังก่ออิฐ混泥土ทั่วไป ที่เพิ่มความเร็วลม 50, 100, 200, 300 fpm กรณีปรับอากาศ.....	70
4-10 แสดงการเปรียบเทียบค่าดัชนี PPD สูงสุดของวัน ค่าดัชนี PPD ต่ำสุดของวัน และค่าดัชนี PPD เฉลี่ยตลอดทั้งวันของห้อง เมื่อผู้อยู่อาศัยซึ่งอยู่ในห้องที่ กำหนดระดับความเร็วลมแตกต่างกัน.....	74

สารบัญแผนภูมิ (ต่อ)

แผนภูมิที่	หน้า
4- 11 แสดงการเปรียบเทียบค่าดัชนี PREDICTED MEAN VOTE (PMV) ของอาคาร ที่ประกอบด้วยผนังก่ออิฐมวลปูนทั่วไป ที่มีค่าความชื้นสัมพัทธ์ 50%, 60%, 70%, 80% กรณีปรับอากาศ.....	76
4-12 แสดงการเปรียบเทียบค่าดัชนี PREDICTED PERCENTAGE of DISSATISFIED(PPD) ของอาคารที่ประกอบด้วยผนังก่ออิฐมวลปูนทั่วไป ที่มีค่าความชื้นสัมพัทธ์ 50%, 60%, 70%, 80% กรณีปรับอากาศ.....	77
4-13 แสดงการเปรียบเทียบค่าดัชนี PPDสูงสุดของวัน ค่าดัชนี PPD ต่ำสุดของวัน และค่าดัชนี PPDเฉลี่ยตลอดทั้งวันของห้อง เมื่อผู้อยู่อาศัยซึ่งอยู่ในห้องที่กำหนดระดับความชื้นสัมพัทธ์ แตกต่างกัน.....	81
4- 14 แสดงการเปรียบเทียบค่าดัชนี PREDICTED MEAN VOTE (PMV) ของอาคาร ที่กำหนดขนาดห้อง $4*4*2.5\text{m}$. $6*6*2.5\text{m}$. $8*8*2.5\text{m}$. และ $10*10*10.0\text{m}$. กรณีปรับอากาศ.....	83
4-15 แสดงการเปรียบเทียบค่าดัชนี PREDICTED PERCENTAGE of DISSATISFIED (PPD) ของอาคารอาคารที่กำหนดขนาดห้อง $4*4*2.5\text{m}$. $6*6*2.5\text{m}$. $8*8*2.5\text{m}$. และ $10*10*10.0\text{m}$. กรณีปรับอากาศ	84
4-16 แสดงการเปรียบเทียบค่าดัชนี PPDสูงสุดของวัน ค่าดัชนี PPD ต่ำสุดของวัน และค่าดัชนี PPDเฉลี่ยตลอดทั้งวันของห้อง เมื่อผู้อยู่อาศัยซึ่งอยู่ในห้องที่กำหนดระดับความเร็วลมแตกต่างกัน 88	
4- 17 แสดงการเปรียบเทียบค่าดัชนี PREDICTED MEAN VOTE (PMV) ของอาคาร ที่กำหนดขนาดห้อง $4*4*2.5\text{m}$. $4*4*5.0\text{m}$. $4*4*7.5\text{m}$. และ $4*4*10.0\text{m}$. กรณีปรับอากาศ.....	90
4-18 แสดงการเปรียบเทียบค่าดัชนี PREDICTED PERCENTAGE of DISSATISFIED (PPD) ของอาคารที่กำหนดขนาดห้อง $4*4*2.5\text{m}$. $4*4*5.0\text{m}$. $4*4*7.5\text{m}$. และ $4*4*10.0\text{m}$. กรณีปรับอากาศ	91
4-19 แสดงการเปรียบเทียบค่าดัชนี PPDสูงสุดของวัน ค่าดัชนี PPD ต่ำสุดของวัน และ ค่าดัชนีPPDเฉลี่ยตลอดทั้งวันของห้อง เมื่อผู้อยู่อาศัยซึ่งอยู่ในห้องที่กำหนดความสูง ห้องแตกต่างกัน.....	95
4-20 แสดงการเปรียบเทียบอุณหภูมิพื้นผิวภายในทั้ง 6 ด้านของอาคาร ร่วมกับอุณหภูมิเฉลี่ย ของพื้นผิวโดยรอบของผนังก่ออิฐมวลปูน และอุณหภูมิอากาศภายในอาคาร.....	104
4-21 แสดงการเปรียบเทียบอุณหภูมิเฉลี่ยของพื้นผิวโดยรอบของอาคารทั่วไปที่ประกอบ ด้วยผนังก่ออิฐมวลปูน พื้นและเพดาน คสล. อุณหภูมิอากาศภายในร่วมกับความรู้สึก ของผู้ใช้อาคาร กรณีปรับอากาศ.....	106

สารบัญแผนภูมิ (ต่อ)

แผนภูมิที่	หน้า
4-22 แสดงการเปรียบเทียบอุณหภูมิเฉลี่ยพื้นผิว โดยรอบของอาคารทั่วไปที่ประกอบด้วย ผนังก่ออิฐฉาบปูน พื้นและเพดาน คลส. และอุณหภูมิอากาศที่ต้องการ เมื่อกำหนดให้ความรู้สึกของผู้ใช้อาคารเสื่อมอ่อนอยู่ที่ 25 องศาเซลเซียส.....	107
4-23 แสดงการเปรียบเทียบอุณหภูมิพื้นผิวภายในทั้ง 6 ด้านของอาคารทั่วไปที่ปรับปรุงพื้น ร่วมกับอุณหภูมิเฉลี่ยของพื้นผิว โดยรอบของผนังก่ออิฐฉาบปูน และ อุณหภูมิอากาศภายในอาคาร.....	110
4-24 แสดงการเปรียบเทียบอุณหภูมิเฉลี่ยของพื้นผิว โดยรอบของอาคารทั่วไปที่ปรับปรุงพื้น อุณหภูมิอากาศภายในร่วมกับความรู้สึกของผู้ใช้อาคาร กรณีปรับอากาศ.....	113
4-25 แสดงการเปรียบเทียบอุณหภูมิเฉลี่ยพื้นผิว โดยรอบของผนังก่ออิฐฉาบปูนทั่วไป ที่ปรับปรุงพื้น โดยติดคนวน และอุณหภูมิอากาศที่ต้องการ เมื่อกำหนดให้ความรู้สึก ของผู้ใช้อาคารเสื่อมอ่อนอยู่ที่ 25 องศาเซลเซียส	114
4-26 แสดงการเปรียบเทียบอุณหภูมิพื้นผิวภายในทั้ง 6 ด้านของอาคารก่ออิฐฉาบปูน ที่ปรับปรุงพังโดยติดคนวน โพลีสไตรีนหนา 1 นิ้ว ภายนอกอาคาร ร่วมกับอุณหภูมิเฉลี่ย ของพื้นผิวโดยรอบของอาคาร และอุณหภูมิอากาศภายในอาคาร.....	117
4- 27 แสดงการเปรียบเทียบอุณหภูมิเฉลี่ยของพื้นผิว โดยรอบอาคารก่ออิฐฉาบปูนที่ปรับปรุง พังโดยติดคนวน โพลีสไตรีนหนา 1 นิ้ว ภายนอกอาคาร อุณหภูมิอากาศในร่วมกับ ความรู้สึกของผู้ใช้อาคาร กรณีปรับอากาศ	120
4-27 แสดงการเปรียบเทียบอุณหภูมิเฉลี่ยพื้นผิว โดยรอบของอาคารก่ออิฐฉาบปูนที่ปรับปรุง พังโดยติดคนวน โพลีสไตรีนหนา 1 นิ้ว ภายนอกอาคาร และอุณหภูมิอากาศที่ต้องการ เมื่อกำหนดให้ความรู้สึกของผู้ใช้อาคารเสื่อมอ่อนอยู่ที่ 25 C.....	121
4-28 แสดงการเปรียบเทียบอุณหภูมิพื้นผิวภายในทั้ง 6 ด้านของอาคารก่ออิฐฉาบปูนที่ปรับปรุง พังโดยติดคนวน โพลีสไตรีนหนา 2 นิ้ว ภายนอกอาคาร ร่วมกับอุณหภูมิเฉลี่ยของพื้นผิว โดยรอบของอาคาร และอุณหภูมิอากาศภายในอาคาร.....	124
4- 30 แสดงการเปรียบเทียบอุณหภูมิเฉลี่ยของพื้นผิว โดยรอบ 6 ด้านของอาคารก่ออิฐฉาบปูน ที่ปรับปรุงพังโดยติดคนวน โพลีสไตรีนหนา 2 นิ้ว ภายนอกอาคาร อุณหภูมิอากาศภายใน ร่วมกับความรู้สึกของผู้ใช้อาคาร กรณีปรับอากาศ.....	127
4- 31 แสดงการเปรียบเทียบอุณหภูมิเฉลี่ยพื้นผิว โดยรอบของอาคารก่ออิฐฉาบปูน ที่ปรับปรุงพังโดยติดคนวน โพลีสไตรีนหนา 2 นิ้ว ภายนอกอาคาร และอุณหภูมิอากาศ ที่ต้องการ เมื่อกำหนดให้ความรู้สึกของผู้ใช้อาคารเสื่อมอ่อนอยู่ที่ 25 C.....	128

สารบัญแผนภูมิ (ต่อ)

แผนภูมิที่	หน้า
4-32 แสดงการเปรียบเทียบอุณหภูมิพื้นผิวภายในทั้ง 6 ด้านของอาคารก่ออิฐ混筋ปูนที่ปรับปรุงผนังโดยติดชานวนโพลีสไตรีนหนา 3 มม. นิวไายนอกอาคาร และอุณหภูมิอากาศภายในอาคาร.....	131
4-33 แสดงการเปรียบเทียบอุณหภูมิเฉลี่ยของพื้นผิวโดยรอบของอาคารก่ออิฐ混筋ปูนที่ปรับปรุงผนังโดยติดชานวนโพลีสไตรีนหนา 3 มม. นิวไายนอกอาคาร อุณหภูมิอากาศภายในร่วมกับความรู้สึกของผู้ใช้อาคาร กรณีปรับอากาศ.....	134
4-33 แสดงการเปรียบเทียบอุณหภูมิเฉลี่ยพื้นผิวโดยรอบของอาคารก่ออิฐ混筋ปูนที่ปรับปรุงผนังโดยติดชานวนโพลีสไตรีนหนา 3 มม. นิวไายนอกอาคาร และอุณหภูมิอากาศที่ต้องการ เมื่อกำหนดให้ความรู้สึกของผู้ใช้อาคารเสื่อมอยู่ที่ 25 C.....	135
4-34 แสดงการเปรียบเทียบอุณหภูมิพื้นผิวภายในทั้ง 6 ด้านของอาคารก่ออิฐ混筋ปูนที่ปรับปรุงเพดานโดยใช้สวนหลังคา ร่วมกับอุณหภูมิเฉลี่ยของพื้นผิวโดยรอบของอาคาร และอุณหภูมิอากาศภายในอาคาร.....	138
4-36 แสดงการเปรียบเทียบอุณหภูมิเฉลี่ยของพื้นผิวโดยรอบของอาคารก่ออิฐ混筋ปูนที่ปรับปรุงเพดานโดยใช้สวนหลังคา อุณหภูมิอากาศภายในร่วมกับความรู้สึกของผู้ใช้อาคาร กรณีปรับอากาศ.....	141
4-37 แสดงการเปรียบเทียบอุณหภูมิเฉลี่ยพื้นผิวโดยรอบของพื้นผิวโดยรอบของอาคาร ก่ออิฐ混筋ปูนที่ปรับปรุงเพดานโดยใช้สวนหลังคา และอุณหภูมิอากาศที่ต้องการ เมื่อกำหนดให้ความรู้สึกของผู้ใช้อาคารเสื่อมอยู่ที่ 25 C.....	142
4-38 แสดงการเปรียบเทียบอุณหภูมิพื้นผิวภายในทั้ง 6 ด้านของอาคารก่ออิฐ混筋ปูนที่ปรับปรุงผนังโดยติดชานวนโพลีสไตรีน 1 มม. นิวไายนอกอาคารและปรับปรุงพื้นโดยติดชานวนโพลีสไตรีน 3 มม. นิวไทน์ใต้อาคาร ร่วมกับอุณหภูมิเฉลี่ยของพื้นผิวโดยรอบของอาคาร และอุณหภูมิอากาศภายในอาคาร.....	145
4-39 แสดงการเปรียบเทียบอุณหภูมิเฉลี่ยของพื้นผิวโดยรอบของอาคารก่ออิฐ混筋ปูนที่ปรับปรุงผนังโดยติดชานวนโพลีสไตรีน 1 มม. นิวไายนอกอาคารและปรับปรุงพื้นโดยติดชานวนโพลีสไตรีน 3 มม. นิวไทน์ใต้อาคาร อุณหภูมิอากาศภายในร่วมกับความรู้สึกของผู้ใช้อาคาร กรณีปรับอากาศ.....	147

สารบัญแผนภูมิ (ต่อ)

แผนภูมิที่	หน้า
4-40 แสดงการเปรียบเทียบอุณหภูมิเฉลี่ยพื้นผิวโดยรอบของอาคารก่ออิฐ混筋ปูนที่ปรับปรุงผนังโดยติดصنวนโพลีสไตรีน 1 นิ้วภายในออกอาคารและปรับปรุงพื้นโดยติดصنวนโพลีสตีน 3 นิ้วให้อาคารและอุณหภูมิอากาศที่ต้องการ เมื่อกำหนดให้ความรู้สึกของผู้ใช้อาคารเสื่อมอยู่ที่ 25C.....	148
4-41 แสดงการเปรียบเทียบอุณหภูมิพื้นผิวภายในทั้ง 6 ด้านของอาคารก่ออิฐ混筋ปูนที่ปรับปรุงพื้นโดยติดصنวนโพลีสไตรีน 3 นิ้วให้อาคารและปรับปรุงเพดานโดยใช้สวนหลังคา ร่วมกับอุณหภูมิเฉลี่ยของพื้นผิวโดยรอบของอาคาร และอุณหภูมิอากาศภายในอาคาร.....	151
4-42 แสดงการเปรียบเทียบอุณหภูมิเฉลี่ยของพื้นผิวโดยรอบของอาคารก่ออิฐ混筋ปูนที่ปรับปรุงพื้นโดยติดصنวนโพลีสไตรีน 3 นิ้วให้อาคารและปรับปรุงเพดานโดยใช้สวนหลังคาอากาศภายในร่วมกับความรู้สึกของผู้ใช้อาคาร กรณีปรับอากาศ.....	153
4-43 แสดงการเปรียบเทียบอุณหภูมิเฉลี่ยพื้นผิวโดยรอบของอาคารก่ออิฐ混筋ปูนที่ปรับปรุงพื้นโดยติดصنวนโพลีสไตรีน 3 นิ้วให้อาคารและปรับปรุงเพดานโดยใช้สวนหลังคาและอุณหภูมิอากาศที่ต้องการ เมื่อกำหนดให้ความรู้สึกของผู้ใช้อาคารเสื่อมอยู่ที่ 25 C.....	154
4-44 แสดงการเปรียบเทียบอุณหภูมิพื้นผิวภายในทั้ง 6 ด้านของอาคารก่ออิฐ混筋ปูนที่ปรับปรุงผนังโดยการติดصنวนโพลีสไตรีนหนา 1 นิ้ว และปรับปรุงเพดานโดยการใช้สวนหลังคา ร่วมกับอุณหภูมิเฉลี่ยของพื้นผิวโดยรอบของอาคาร	157
4-45 แสดงการเปรียบเทียบอุณหภูมิเฉลี่ยของพื้นผิวโดยรอบของอาคารที่ปรับปรุงผนังโดยการติดصنวนโพลีสไตรีนหนา 1 นิ้ว และปรับปรุงเพดานโดยการใช้สวนหลังคา อุณหภูมิอากาศภายในร่วมกับความรู้สึกของผู้ใช้อาคาร กรณีปรับอากาศ.....	159
4-46 แสดงการเปรียบเทียบอุณหภูมิเฉลี่ยพื้นผิวโดยรอบของที่ปรับปรุงผนังโดยการติดصنวนโพลีสไตรีนหนา 1 นิ้ว และปรับปรุงเพดานโดยการใช้สวนหลังคาและอุณหภูมิอากาศที่ต้องการ เมื่อกำหนดให้ความรู้สึกของผู้ใช้อาคารเสื่อมอยู่ที่ 25 C.....	160
4-47 แสดงการเปรียบเทียบอุณหภูมิพื้นผิวภายในทั้ง 6 ด้านของอาคารก่ออิฐ混筋ปูนที่ปรับปรุงพื้นโดยการติดصنวน 3 นิ้วให้อาคาร ปรับปรุงผนังโดยติดصنวน 1 นิ้วภายในออกอาคาร และปรับปรุงเพดานโดยใช้สวนหลังคา ร่วมกับอุณหภูมิเฉลี่ยของพื้นผิวโดยรอบของอาคาร และอุณหภูมิอากาศภายในอาคาร	163

สารบัญแผนภูมิ (ต่อ)

แผนภูมิที่	หน้า
4- 48 แสดงการเปรียบเทียบอุณหภูมิเฉลี่ยของพื้นผิวโดยรอบของอาคารก่ออิฐ混ปูนที่ปรังปรุงพื้นโดยการติดวน 3 นิ้วให้อาคาร ปรังปรุงผนังโดยติดวน 1 นิ้ว ภายนอกอาคาร และปรับปรุงเพดาน โดยใช้สวนหลังคา อุณหภูมิอากาศภายในร่วมกับความรู้สึกของผู้ใช้อาคาร กรณีปรับอากาศ.....	165
4-49 แสดงการเปรียบเทียบอุณหภูมิเฉลี่ยพื้นผิวโดยรอบของอาคารก่ออิฐ混ปูนที่ปรังปรุงพื้นโดยการติดวน 3 นิ้วให้อาคาร ปรังปรุงผนังโดยติดวน 1 นิ้ว ภายนอกอาคาร และปรับปรุงเพดาน โดยใช้สวนหลังคา และอุณหภูมิอากาศที่ต้องการ เมื่อกำหนดให้ความรู้สึกของผู้ใช้อาคารเสื่อมอยู่ที่ 25 C	166
4-50 แสดงการเปรียบเทียบอุณหภูมิเฉลี่ยของพื้นผิวโดยรอบของอาคารทั้ง 10 อาคารที่มีการปรับปรุงอาคารแตกต่างกัน กรณีปรับอากาศ.....	170
4-51 แสดงการเปรียบเทียบค่าดัชนี PREDICTED PERCENTAGE of DISSATISFIED (PPD) ของอาคารทั้ง 10 กรณีที่มีการปรับปรุงอาคารแตกต่างกัน กรณีปรับอากาศ.....	171
4-52 แสดงการเปรียบเทียบค่าดัชนี PREDICTED PERCENTAGE of DISSATISFIED (PPD) ของอาคารทั้ง 10 กรณีที่มีการปรับปรุงอาคารแตกต่างกัน กรณีปรับอากาศ.....	172
4-53 แสดงการเปรียบเทียบอุณหภูมิเฉลี่ยของพื้นผิวโดยรอบของอาคารก่ออิฐ混ปูนทั่วไป และอาคารก่ออิฐ混ปูนที่เลือกปรับปรุงเพียงระนาบไดระนาบทัน กรณีปรับอากาศ	173
4-54 แสดงการเปรียบเทียบอุณหภูมิเฉลี่ยพื้นผิวโดยรอบที่มีค่าสูงสุด และต่ำสุดของอาคารแต่ละชนิด.....	175
4-55 แสดงการเปรียบเทียบค่าดัชนี PREDICTED PERCENTAGE of DISSATISFIED (PPD) ของอาคารก่ออิฐ混ปูน และอาคารที่เลือกปรับปรุงเพียงระนาบไดระนาบทันเท่านั้น กรณีปรับอากาศ	177
4-56 แสดงการเปรียบเทียบค่าดัชนี PREDICTED PERCENTAGE of DISSATISFIED (PPD) ของอาคารก่ออิฐ混ปูน และอาคารที่เลือกปรับปรุงเพียงระนาบไดระนาบทันเท่านั้น กรณีปรับอากาศ.....	178
4-56 แสดงการเปรียบเทียบอุณหภูมิเฉลี่ยของพื้นผิวโดยรอบของอาคารก่ออิฐ混ปูนทั่วไป อาคารที่เลือกปรับปรุง 2 ระนาบ และ 3 ระนาบ กรณีปรับอากาศ.....	183
4-58 แสดงการเปรียบเทียบอุณหภูมิเฉลี่ยพื้นผิวโดยรอบที่มีค่าสูงสุด และต่ำสุดของอาคารแต่ละชนิด.....	185

สารบัญแผนภูมิ (ต่อ)

แผนภูมิที่	หน้า
4-59 แสดงการเปรียบเทียบค่าดัชนี PREDICTED MEAN of DISSATISFIED (PMV) ของอาคารก่ออิฐฉาบปูนทั่วไป อาคารที่เลือกปรับปรุง 2 ระนาบ และ 3 ระนาบ กรณีปรับอากาศ	187
4-60 แสดงการเปรียบเทียบค่าดัชนี PREDICTED PERCENTAGE of DISSATISFIED (PPD) ของอาคารก่ออิฐฉาบปูนทั่วไป อาคารที่เลือกปรับปรุง 2 ระนาบ และ 3 ระนาบ กรณีปรับอากาศ	188
5-1 แสดงการเปรียบเทียบอุณหภูมิเฉลี่ยพื้นผิวโดยรอบที่มีค่าสูงสุด และต่ำสุด ความรู้สึก เเส่มื่อนของผู้อยู่อาศัย และอุณหภูมิอากาศที่ต้องการเพื่อรักษาความรู้สึกเเส่มื่อนของผู้ อยู่อาศัยที่ 25 องศาเซลเซียส ณ.เวลาที่อุณหภูมิเฉลี่ยพื้นผิวโดยรอบมีค่าสูงสุด และต่ำ สุดของอาคารทั้ง 10 กรณี	195
5-2 การเปรียบเทียบค่า PREDICTED MEAN VOTE (PMV) ตลอด 24 ชั่วโมง แบ่งเป็น 3 ช่วงเวลา.....	196
5-3 แสดงการเปรียบเทียบอาคารที่ปรับปรุงกับอาคารก่ออิฐฉาบปูนโดยพิจารณา สภาพน้ำฝนรายเดือน 24 ชั่วโมง	199

